

чения и числа Рейнольдса турбулентности, которое в проведенных опытах изменялось более чем в 50 раз.

Автор выражает глубокую признательность В. Л. Зимонту, по предложению которого выполнена работа, и Ю. М. Денисову, оказавшему большую помощь в создании комплекса программ для ЭЦВМ.

Поступила 23 III 1982

#### ЛИТЕРАТУРА

1. Тихонов В. И. Выбросы случайных процессов. М.: Наука, 1970.
2. Щербина Ю. А. Амплитудно-масштабная характеристика турбулентных пульсаций. — В кн.: Турбулентные течения. М.: Наука, 1974.
3. Narayanan M. A. B. Universal trends observed in the maxima longitudinal velocity fluctuations and the zero crossings in turbulent flows. — AIAA J., 1979, vol. 17, N 5. Рус. пер. Ракетн. техн. и космонавтика, 1979, т. 17, № 5.
4. Antonia R. A., Danh N. Q., Prabhu A. Bursts in turbulent flows. — Phys. Fluids, 1976, vol. 19, N 11.
5. Васильев В. И., Юденков Н. А., Богданов В. В. Исследование интенсивности турбулентных пульсаций потока в воздухозаборниках. — Труды ЦАГИ, 1971, вып. 1327.
6. Зимонт В. Л., Прасковский А. А., Тарышкин А. Г. Исследование влияния ограниченности частотного диапазона аппаратуры на результаты измерений параметров турбулентности. — Труды ЦАГИ, 1980, вып. 2048.
7. Колмогоров А. Н. О логарифмически нормальном распределении размеров частиц при дроблении. — ДАН СССР, 1941, т. 31, № 2.
8. Монин А. С., Яглом А. М. Статистическая гидромеханика. Ч. II. М.: Наука, 1967.
9. Прохоров Ю. В., Розанов Ю. А. Теория вероятностей. М.: Наука, 1967.

УДК 532.62

### О РАСТЕКАНИИ ВЯЗКОЙ ЖИДКОСТИ ПО ГОРИЗОНТАЛЬНОЙ ПОВЕРХНОСТИ

Г. И. Шапиро

(Москва)

Растекание вязкой жидкости по поверхности твердого тела играет важную роль в ряде практических задач, например при формировании покрытий твердых тел, при движении газожидкостных смесей и эмульсий в капиллярах и в других случаях [1]. Движение тонкого слоя вязкой жидкости по горизонтальной поверхности вызвано действием сил тяжести и поверхностного натяжения и имеет много общего с движением тонких пленок по наклонной плоскости, которое интенсивно изучалось в течение ряда лет [2—4]. Переход от наклонной плоскости к горизонтальной не является тривиальным, т. е. не сводится к подстановке угла наклона, равного нулю, в окончательные формулы. Дело в том, что движение по горизонтальной плоскости даже в самом грубом приближении описывается дифференциальным уравнением более высокого порядка.

В двумерной постановке задача о растекании вязкой жидкости по горизонтальной плоскости рассматривалась в [5], где получено приближенное нелинейное уравнение для толщины слоя  $h$  в зависимости от координаты  $x$  и времени  $t$ :

$$(1) \quad h_t = (g/3\nu)(h^3 h_x)_x.$$

Здесь  $\nu$  — коэффициент кинематической вязкости;  $g$  — ускорение силы тяжести. К сожалению, в [5] фактически не учтено влияние поверхностного натяжения.

В противоположном предельном случае, когда силой тяжести можно пренебречь по сравнению с силой поверхностного натяжения, уравнение для  $h(x, t)$  получено в [6] (также только в двумерной постановке):

$$(2) \quad h_t + (\sigma/3\rho\nu)(h^3 h_{xxx})_x = 0,$$

где  $\sigma$  — коэффициент поверхностного натяжения;  $\rho$  — плотность жидкости.

В данной работе рассматривается трехмерная задача о движении вязкой несжимаемой жидкости по горизонтальной плоскости с учетом силы тяжести и поверхностного натяжения. Наклон свободной поверхности предполагается малым, а движение — достаточно медленным (ползущим), так что инерционными силами можно пренебречь по сравнению с вязкими. При этом, как будет показано, число Рейнольдса не обязательно должно быть мало. На изменения толщины слоя  $h(x, y, t)$  ограничения не накладываются, в частности,  $h$  может обращаться в нуль, как это бывает при растекании капли.

Для описания динамики жидкости воспользуемся уравнениями Навье — Стокса при следующих граничных условиях. На поверхности твердого тела — прилипание:

$$(3) \quad \mathbf{u}|_{z=0} = 0, \quad w|_{z=0} = 0.$$

Здесь  $\mathbf{u}$  — вектор горизонтальной скорости;  $w$  — вертикальная компонента скорости;  $z$  — вертикальная координата.

На свободной поверхности граничным условием является непрерывность нормального  $\sigma_{nn}$  и касательного  $\sigma_{n\tau}$  напряжений [7]:

$$(4) \quad \sigma_{nn}|_{z=h} = -p_a + \sigma \frac{\Delta h}{[1 + (\nabla h)^2]^{3/2}}, \quad \sigma_{n\tau}|_{z=h} = 0,$$

где  $p_a$  — атмосферное давление (считаем, что  $p_a = \text{const}$ );  $\sigma$  — коэффициент поверхностного натяжения;  $\nabla$ ,  $\Delta$  — двумерные (в горизонтальной плоскости  $x, y$ ) операторы Гамильтона и Лапласа. Кинематическое граничное условие удобно скомбинировать с уравнением неразрывности и записать в виде

$$(5) \quad h_t + \nabla \int_0^h \mathbf{u} dz = 0.$$

Пусть характерная толщина слоя равна  $H$ , а характерный горизонтальный размер  $L$ . За масштаб горизонтальной скорости выберем величину  $U = gH^3/\nu L$ , которая определяется из условия баланса характерных величин горизонтального градиента гидростатического давления и сил вязкости. Введем безразмерные переменные по формулам:

$$\mathbf{u} = U\mathbf{u}', \quad w = \alpha U w', \quad x = Lx', \quad y = Ly',$$

$$z = H\xi, \quad h = H\eta, \quad t = T\tau, \quad p = p_a + \rho g(h - z) + P p',$$

где

$$\alpha = H/L; \quad P = \rho gH; \quad T = L/U = \nu L^2/gH^3,$$

гидростатическая составляющая  $\rho g(h - z)$  давления  $p$  для удобства выделена в отдельное слагаемое.

В этих переменных уравнения Навье — Стокса условие несжимаемости и уравнение (5) записываются в виде

$$(6) \quad \text{Fr}^2 (\mathbf{u}'_\tau + (\mathbf{u}' \nabla) \mathbf{u}' + w' \mathbf{u}'_\xi) = -\nabla \eta - \nabla p' + \mathbf{u}'_{\xi\xi} + \alpha^2 \Delta \mathbf{u}';$$

$$(7) \quad \alpha^2 \text{Fr}^2 (w'_\tau + (\mathbf{u}' \nabla) w' + w' w'_\xi) = -p'_\xi + \alpha^2 w'_{\xi\xi} + \alpha^4 \Delta w';$$

$$(8) \quad \Delta \mathbf{u}' + w'_\xi = 0;$$

$$(9) \quad \eta_\tau + \nabla \int_0^\eta \mathbf{u}' d\xi = 0,$$

где  $\text{Fr}^2 = gH^5/\nu^2 L^2 = U^2/gH$  — квадрат числа Фруда. Для краткости безразмерные операторы  $\nabla$ ,  $\Delta$  обозначены теми же символами, что и размерные.

Выведем уравнение, описывающее эволюцию свободной поверхности  $\eta(x', y', \tau)$  при малых значениях  $\alpha^2$  и достаточно медленных движениях жидкости. Из уравнений (6), (7) видно, что в рассматриваемой задаче условие «медленности» движения, т. е. малости инерционных членов по сравнению с вязкими, является малость числа Фруда  $\text{Fr}$ , а не числа Рейнольдса  $\text{Re} = UH/\nu = gH^4/\nu^2 L$ . Легко убедиться, что число Рейнольдса связано с числом Фруда соотношением  $\text{Fr}^2 = \alpha \text{Re}$ , так что условие  $\text{Fr}^2 \ll 1$  может выполняться и при  $\text{Re} \gg 1$ , если только  $\alpha^2 \ll 1$ . Следовательно, при асимптотическом анализе удобно воспользоваться разложением величин  $\mathbf{u}'$ ,  $w'$ ,  $p'$  в ряды по двум независимым малым параметрам  $\alpha^2$  и  $\text{Fr}^2$ :

$$(10) \quad \mathbf{u}' = \sum_{n,n} \mathbf{u}'_{mn} \alpha^{2m} \text{Fr}^{2n}.$$

Замкнутое уравнение для  $\eta$  получается следующим образом. Подставляем разложение (10) в уравнения (6) — (8) и граничные условия и решаем эту систему, считая  $\eta(x', y', \tau)$  заданным. В каждом приближении по  $\alpha^2$ ,  $Fr^2$  решение сводится к интегрированию известных функций по вертикали и может быть выполнено в конечном виде. Найденное решение  $\mathbf{u}' = \mathbf{u}'_{00} + Fr^2 \mathbf{u}'_{01} + \alpha^2 \mathbf{u}'_{10} + \dots$ , зависящее функционально от  $\eta$ , подставляем затем в уравнение (9). Интересно, что при таком выводе не требуется раскладывать величину  $\eta$  в ряд по малым параметрам. Это не только упрощает выкладки, но и позволяет не накладывать никаких дополнительных ограничений на амплитуду изменений  $\eta$ .

Отметим, что в тонких пленках жидкости часто выполняется соотношение  $\alpha^2 \ll Fr^2 \ll 1$ . Например, для воды при  $H = 0,3$  мм,  $L = 1$  см,  $\nu = 10^{-2}$  см<sup>2</sup>/с получим  $\alpha^2 = 9 \cdot 10^{-4}$ ,  $Fr^2 = 0,2 \gg \alpha^2$ . Поэтому в асимптотическом разложении (10) нужно в первую очередь учитывать поправки по  $Fr^2$ , а члены  $\sim \alpha^2$  в низших приближениях (которые и представляют основной интерес) можно вовсе не учитывать. При этом граничные условия (4) существенно упрощаются и в безразмерных переменных принимают вид

$$(11) \quad \mathbf{u}'_{\xi} \Big|_{\xi=\eta} = 0, \quad p' \Big|_{\xi=\eta} = -We\Delta\eta,$$

где  $We = \sigma/\rho g L^2$  — число Вебера.

В нулевом приближении по  $\alpha^2$ ,  $Fr^2$  горизонтальный вектор скорости  $\mathbf{u}'_{00}$ , найденный из (3), (6), (7), (11), имеет вид

$$(12) \quad \mathbf{u}'_{00} = \eta^2 \left( \frac{\xi^2}{2\eta^2} - \frac{\xi}{\eta} \right) \nabla (\eta - We\Delta\eta).$$

Подставляя это выражение в (9), получаем нелинейное уравнение для  $\eta(x', y', \tau)$  нулевого приближения\*. Запишем его сразу в размерных переменных:

$$(13) \quad h_t - \frac{\sigma}{3\gamma} \nabla (h^3 \nabla h) + \frac{\sigma}{3\rho\nu} \nabla (h^3 \nabla \Delta h) = 0.$$

После того как  $\eta(x', y', \tau)$  найдено из решения уравнения (13), горизонтальную скорость находим по формуле (12), а вертикальную — из условия несжимаемости (8).

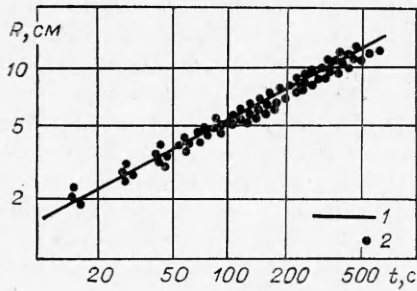
В первом приближении по  $Fr^2$  уравнение для  $\eta$  выглядит более громоздко, поэтому выпишем его для случая, когда членом с  $We$  можно пренебречь:

$$\eta_t - \frac{4}{3} \nabla (\eta^3 \nabla \eta) + Fr^2 \nabla \left\{ \frac{47}{180} \eta^6 \nabla \eta (\nabla \eta)^2 + \frac{644}{3780} \eta^7 \Delta \eta \nabla \eta + \frac{4}{105} \eta^7 \nabla [(\nabla \eta)^2] + \right. \\ \left. + \frac{2}{45} \eta^8 \Delta \nabla \eta \right\} = 0.$$

Проанализируем подробнее уравнение нулевого приближения (13). В двух предельных случаях это уравнение переходит в известные уравнения. При  $\sigma = 0$  (отсутствует поверхностное натяжение) и  $\partial/\partial y = 0$  получаем уравнение (1). При  $g = 0$  (отсутствует сила тяжести) и  $\partial/\partial y = 0$  получаем уравнение (2).

При  $\sigma = 0$  уравнение (13) относится к классу нелинейных параболических уравнений, многочисленные автомодельные решения которых найдены в [9, 10] в связи с задачами теории тепловых волн и теории фильтрации. В частности, если при растекании осесимметричной жидкой капли в ее центре имеется приток жидкости с интенсивностью  $Q$ , а на бесконечности выполняется условие  $\eta = 0$ , то автомодельное решение укороченного уравнения (13) имеет вид, указанный в [10], и отлично от нуля лишь в

\* Для частного случая  $\partial/\partial y = 0$  это уравнение получено другим способом в работе [8], на которую автору любезно указал рецензент.



конечной области  $0 < r < R(t)$ . Радиус капли  $R$  растет со временем по закону (14)  $R(t) = A Q^{3/8} (g/\nu)^{1/8} t^{1/2}$ .

Численное интегрирование дает для коэффициента  $A$  значение 0,62. Формула (14) согласуется (с точностью до некоторого отличия в числовом коэффициенте) с результатами эксперимента [11], где осесимметричное пятно глицерина растекалось по стеклу. На фигуре цифрой 1 обозначена теоретическая зависимость (14) при  $A = 0,3$ , цифрой 2 — экспериментальные данные [11] при  $Q = 0,91 \pm 0,04 \text{ см}^3/\text{с}$ ,  $\nu = 6,2 \text{ см}^2/\text{с}$ . Оценки показывают, что в условиях этих опытов  $We \ll 1$ , т. е. влияние поверхностного натяжения действительно мало. Если приток жидкости отсутствует, то автомодельное решение уравнения (13) дает для осесимметричной капли объема  $V$  расширение по закону

$$(15) \quad R = \text{const } V^{3/8} (g/\nu)^{1/8} t^{1/8}.$$

При  $\sigma \neq 0$  уравнение (13) содержит пространственные производные более высокого порядка, и для его решения необходимы дополнительные граничные условия, например величина угла смачивания.

В простейшем случае двумерной ( $\partial/\partial y = 0$ ) неподвижной капли объема  $V$  из уравнения (13) легко получить форму  $h(x)$  и длину  $2d$  капли аналитически:

$$h(x) = \beta(\text{ch } ad - \text{ch } ax) / (a \text{ sh } ad),$$

где  $a = \sqrt{\rho g / \sigma}$  — капиллярная постоянная;  $\beta$  — тангенс угла смачивания, а величина  $d$  определяется из уравнения  $(1 + Va^2/2\beta) \text{th } ad = ad$ , что полностью совпадает с известным из гидростатики результатом [12].

Поступила 6 IV 1982

#### ЛИТЕРАТУРА

1. **Воинов О. В.** Асимптотика свободной поверхности вязкой жидкости при ползущем движении и зависимость краевого угла смачивания от скорости. — ДАН СССР, 1978, т. 243, № 6.
2. **Каница П. Л.** Волновое течение тонких слоев вязкой жидкости. — ЖЭТФ, 1948, т. 18, № 1.
3. **Шкадов В. Я.** Волновые режимы течения тонкого слоя вязкой жидкости под действием силы тяжести. — Изв. АН СССР. МЖГ, 1967, № 1.
4. **Шкадов В. Я.** Уединенные волны в слое вязкой жидкости. — Изв. АН СССР. МЖГ, 1977, № 1.
5. **Nakaya C.** Spread of fluid drops over a horizontal plate. — J. Phys. Soc. Jap., 1974, vol. 37, N 2.
6. **Воинов О. В.** Об углах наклона границы в движущихся жидких слоях. — ПМТФ, 1977, № 2.
7. **Седов Л. И.** Механика сплошной среды. Изд. 2-е. М.: Наука, 1973.
8. **Kamin S.** Continuous groups of transformation of differential equations: applications to free boundary problems. — In: Free boundary problems: Proceedings of a seminar held in Pavia in September — October 1979. Vol. 2. Roma: Istituto nazionale di alta matematica Francesco Severi, 1980.
9. **Зельдович Я. Б., Компанец А. С.** К теории распространения тепла при теплопроводности, зависящей от температуры. — В кн.: Сборник, посвященный 70-летию А. Ф. Иоффе. М.: Изд-во АН СССР, 1950.
10. **Баренблатт Г. И.** О некоторых неустановившихся движениях жидкости и газа в пористой среде. — ПММ, 1952, т. 16, № 1.
11. **Зацепин А. Г., Шапиро Г. И.** Исследование осесимметричной интрузии в стратифицированной жидкости. — Изв. АН СССР. Физика атмосферы и океана. 1982, т. 18, № 1.
12. **Гидромеханика невесомости/Под ред. А. Д. Мышкина.** М.: Наука, 1976.